

การศึกษาการต้านยาไฟริเมราถีน ของ พคส. โน้มเติบม ฟ้าลศีปารัม



นายสุรลักษ์ พลอยดันย์

007597

วิทยานิพนธ์นี้เป็นส่วนหนึ่งของการศึกษาตามหลักสูตรปริญญา วิทยาศาสตรมหาบัณฑิต

ภาควิชาชีวเคมี

บัณฑิตวิทยาลัย จุฬาลงกรณ์มหาวิทยาลัย

พ.ศ. 2525

ISBN 974-561-399-1

A Study of Plasmodium falciparum Resistance to Pyrimethamine



Mr. Surasit Ploydanai

A Thesis submitted in Partial Fulfillment of the Requirements

for the Degree of Master of Sciences

Department of Biochemistry

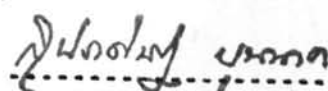
Graduate School

Chulalongkorn University

1982

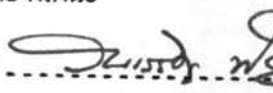
หัวข้อวิทยานิพนธ์ การศึกษาการต้านยาไฟริเมราฟิน ของพลาส์โมเตียม พาลซีปารัม
โดย นางลุรลิทัช พลอยคนัย
ภาควิชา ชีวเคมี
อาจารย์ที่ปรึกษา ผู้ช่วยค่าล่ตราการย์ ดร.สันต์ พิเชียรุกุล

บังคิตวิทยาลัย จุฬาลงกรณ์มหาวิทยาลัย อนุมัติให้เข้าบังคิตวิทยานิพนธ์ฉบับนี้เป็น
ส่วนหนึ่งของการศึกษาตามหลักสูตรปรัชญามหาบัณฑิต

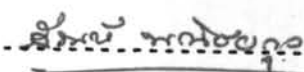
 คลับตี บังคิตวิทยาลัย

(รองค่าล่ตราการย์ ดร.สุประดิษฐ์ บุนนาค)

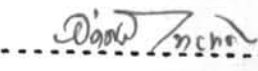
คณะกรรมการล่ออบวิทยานิพนธ์

 ประธานกรรมการ

(ผู้ช่วยค่าล่ตราการย์ ลิลดา เสรีริกุล ทรัพย์โถงก)

 กรรมการ

(รองค่าล่ตราการย์ สกศรี ภิกขกุล)

 กรรมการ

(รองค่าล่ตราการย์ สกศรี ภิกขกุล)

 กรรมการ

(ผู้ช่วยค่าล่ตราการย์ แพทพันธุ์ธนกร ศิบสินวงศ์)

 กรรมการ

(รองค่าล่ตราการย์ ดร.ไพรีระ พิพิธวงศ์)

ลิขสิทธิ์ของบังคิตวิทยาลัย จุฬาลงกรณ์มหาวิทยาลัย

หัวข้อวิทยานิพนธ์ การศึกษาการต้านยาไฟริ เมราเม็นของพลาสโมเตียม พลาซีปารัม
 ชื่อนิลิต นายสุรศักดิ์ พลอยดันัย
 อาจารย์ที่ปรึกษา ผู้ป่วยค่าลัตราจารย์ ดร.สันต์ พนิษบุญ
 ภาควิชา ชีวเคมี
 ปีการศึกษา 2524

บทคัดย่อ



การวิสัยนี้มีจุดมุ่งหมายที่จะศึกษากลไกของการต้านไฟริ เมราเม็นของพลาสโมเตียม พลาซีปารัม โดยใช้พลาสโมเตียม พลาซีปารัม 3 ไอโซเลต ศิอ ไอโซเลต K₁ ต้านยาสูงสุด 10^{-5} มอลาร์ ไอโซเลต CC ต้านยาสูงสุด 10^{-8} มอลาร์ และไอโซเลต G₁₁₂ ต้านยาสูงสุด 10^{-10} มอลาร์ พบว่าความเข้มข้นของไฟริ เมราเม็นจะมีผลกระทบต่อระบบการเจริญของพลาสโมเตียมต่างกันศิอ ระหว่างหนานและระยะห่างไฟริ ไฟริ เมราเม็นมากกว่าระยะไขขอนก์ เมื่อไขขาก็มีความเข้มข้นซึ่งมีผลกระทบต่อการเจริญ (10^{-4} มอลาร์) ในลักษณะการเพาะเสียงแบบต่อเนื่อง (จำนวนพาราไชต์ในเสือต 5 เปอร์เซนต์) การนำเข้าของ ¹⁴C-pyrimethamine ของเม็ดเสือดแดงติดเชื้อพลาสโมเตียมในระบบการเจริญซึ่งเป็นไฟริ ไฟริ เมราเม็นจะมีค่าสูงสุด เมื่อวินิคิวเบตพลาสโมเตียม (จำนวนพาราไชต์ในเสือต 50 เปอร์เซนต์ และระบบการเจริญไฟริ เมราเม็นต่อไขขอนก์ 3 : 1) กับ ¹⁴C-pyrimethamine (10^{-5} มอลาร์) เป็นเวลา 30 นาที พบว่าไอโซเลต G₁₁₂ ให้ค่าการนำเข้าของ ¹⁴C-pyrimethamine สูงกว่าไอโซเลต K₁ ประมาณ 3 เท่า

ผลตัวตัวจำเพาะของ เอนไซม์ไดอิโซโรฟเลต รีดกเตล ในพลาสโมเตียม พลาซีปารัม ไอโซเลต K₁ เท่ากับ 0.22 ไมโครโมล/นาที/มิลลิกรัมโปรดติน (0.07 - 0.43) ไอโซเลต CC เท่ากับ 0.027 ไมโครโมล/นาที/มิลลิกรัมโปรดติน (0.02 - 0.032) ไอโซเลต G₁₁₂ เท่ากับ 0.008 ไมโครโมล/นาที/มิลลิกรัมโปรดติน (0.006 - 0.009) ผลตัวตัวจำเพาะของ เอนไซม์จะเพิ่มขึ้นเมื่อพลาสโมเตียม พลาซีปารัม ไอโซเลต K₁ เจริญค่ากระยะหนานไปจน

รีไซเคิล และการเพิ่มขึ้นของเงินไขม์แอกติวิตี้ไม่ขึ้นกับปริมาณโปรดตินในแต่ละระยะ
การเจริญ แอกพิโนต์ต่อได้โดยไฟฟ้าและแก๊สเชิงกันทุกระยะ การเจริญ (K_m ประมาณ 7.2
- 8.0 ไมโครโมลาร์) แอกพิโนต์ต่อไฟฟ้าเมราฟิน (K_1 เท่ากับ 22.5 นาโนโมลาร์) จะถูก[↑]
กว่าแอกพิโนต์เมธิโรเจท (K_1 เท่ากับ 4.4 นาโนโมลาร์) น้ำหนักโอมเลตุลของเงินไขม์
ได้โดยไฟฟ้าและรีดักเตลในพลาสติกเมราฟิน พาลซิปารัม ไอโซเจล K_1 เท่ากับ 205,000
ดาลตัน แต่น้ำหนักเงินไขม์นี้ในตับหมูเท่ากับ 21,500 ดาลตัน

Thesis Title A Study of Plasmodium falciparum Resistance to
Pyrimethamine

Name Mr. Surasit Ploydanai

Department Biochemistry

Thesis advisor Assistance professor Sanha Panichajakul

Academic Year 1981

Abstract

In our research, we have studied the maximum resistance to pyrimethamine of Plasmodium falciparum isolate K₁ resists to 10⁻⁵ molar, isolate CC and G₁₁₂ resists to 10⁻⁸ and 10⁻¹⁰ molar respectively.. It is found that the effect of growth by the pyrimethamine will depend on stage of growth, ring form and trophozoite of isolate K₁ is more sensitive than schizont to pyrimethamine (10⁻⁴ molar). Incorporation level of ¹⁴C-pyrimethamine (10⁻⁴ molar) in growth stage of late trophozoite is highest in condition of continuous culture (5% para-sitaemia). The uptake of ¹⁴C-pyrimethamine (10⁻⁵ molar) in isolate K₁ when incubate with Plasmodium (50% parasitaemia) for 30 minutes is about three time lower than isolate G₁₁₂ at the same stage condition (The ratio of trophozoite and schizont is 3 : 1).

Specific activity of dihydrofolate reductase in Plasmodium falciparum isolate K₁ is 0.22 umol min⁻¹/mg protein (0.007 - 0.43), isolate CC is 0.027 umol min⁻¹/mg protein (0.02 - 0.032) and isolate G₁₁₂ is 0.008 umol min⁻¹/mg protein (0.006 - 0.009). The specific

activity of this enzyme in *Plasmodium falciparum* isolate K₁ will be increased from ring form and trophozoite to schizont stage and does not depend on protein concentration in each stage of growth.

Affinity to dihydrofolate in various stage of life cycle is almost the same with K_m of 7.2 - 8.0 micromolar. The affinity to pyrimethamine (K_i = 42.5 nanomolar) is less than the affinity to methotrexate (K_i = 4.4 nanomolar). The molecular weight of dihydrofolate reductase in *Plasmodium falciparum* isolate K₁ is 205,000 dalton, but in rat liver is found only 21,500 dalton.

activity of this enzyme in *Plasmodium falciparum* isolate K₁ will be increased from ring form and trophozoite to schizont stage and does not depend on protein concentration in each stage of growth.

Affinity to dihydrofolate in various stage of life cycle is almost the same with K_m of 7.2 - 8.0 micromolar. The affinity to pyrimethamine (K_i = 42.5 nanomolar) is less than the affinity to methotrexate (K_i = 4.4 nanomolar). The molecular weight of dihydrofolate reductase in *Plasmodium falciparum* isolate K₁ is 205,000 dalton, but in rat liver is found only 21,500 dalton.

คำอธิบาย

ACD	= acid citrate dextrose
DHF, FH ₂	= dihydrofolate
DNA	= deoxyribonucleic acid
dTMP	= deoxyribosylthymine monophosphate
dUMT	= deoxyuridine monophosphate
FTHFS	= formyltetrahydrofolate synthetase
GPI	= glucose phosphate isomerase
HEPES	= N-2-Hydroxyethyl piperazine-N'-2-ethane-sulfonic acid
MTHED	= methylene tetrahydrofolate dehydrogenase
NADPH	= nicotinamide adenine dinucleotide phosphate reduced form
nm	= nanometre
RNA	= ribonucleic acid
SHMT	= serine hydroxymethyl transferase
THF, FH ₄	= tetrahydrofolate



สารบัญ

หน้า

บทคัดย่อภาษาไทย ๔

บทคัดย่อภาษาอังกฤษ ๘

กิติกรรมประการ ๑๖

สารบัญ ๒๔

รายการตารางประกอบ ๒๕

รายการรูปประกอบ ๗

คำย่อ ๑๓

บทที่ ๑

๑ บทนำ ๑

๒ วัสดุเคมีภัณฑ์และวิธีทดสอบ ๑๓

2.1 วัสดุเคมีภัณฑ์และเครื่องมือ ๑๓

2.2 เข็อพลาล์โนมเตียบ ฟอลชิปาร์ม ๑๗

2.3 การเตรียมอาหาร เสี้ยง เข็อพลาล์โนมเตียบ ฟอลชิปาร์ม ๑๘

2.4 การเตรียมเม็ดเสือดแดงสำหรับเสี้ยงพลาล์โนมเตียบ ฟอลชิปาร์ม ๑๘

2.5 การเตรียมซีรัม ๑๙

2.6 การเตรียมและบ้อมสี สีบันยา ๑๙

2.7 การเพาะเสี้ยง พลาล์โนมเตียบ ฟอลชิปาร์ม แบบต่อเนื่อง ๒๑

 2.8 การเปลี่ยนชนิดเม็ดเสือดแดง เพื่อการเพาะเสี้ยงพลาล์โนมเตียบ
 ฟอลชิปาร์มแบบต่อเนื่อง ๒๒

2.9 การซึ่นโครในเขียงของพลาล์โนมเตียบ ฟอลชิปาร์ม ๒๒

บทที่		หน้า
2.10	การทดสอบความไวของพลาสต์โนมเติยม พลาซีปารัมต่อ ไฟริ เมราเมินและเมโรเทร เขก	23
2.11	วิธีนับเม็ดเสือดแดงและจำนวนพลาสต์โนมเติยม	24
2.12	การนำ ¹⁴ C-pyrimethamine เข้าสู่เม็ดเสือดแดงซึ่งติดเชื้อ ¹ และไม่ติดเชื้อพลาสต์โนมเติยม พลาซีปารัมในสภาวะการแพะเสียง แบบต่อเนื่อง	25
2.13	วิธีศึกษาการนำไฟริ เมราเมินเข้าสู่พลาสต์โนมเติยม พลาซีปารัม	25
2.14	การลอกเยื่อไชม์จากพลาสต์โนมเติยม พลาซีปารัม	27
2.15	การวัดแอกติวิตี้ของเยื่อไชม์ได้ไอโตรโฟเลต รีดักเตล	28
2.16	การเตรียมเยื่อไชม์ได้ไอโตรโฟเลต รีดักเตลจากตับหมู	29
2.17	การหาปริมาณโปรตีนโดยวิธี Lowry	30
2.18	การหาหน้างอกโมเลกุลของเยื่อไชม์ได้ไอโตรโฟเลต รีดักเตล ในพลาสต์โนมเติยม พลาซีปารัม	31
2.19	การหาค่า K_m ต่อสับเลตกราฟได้ไอโตรโฟเลต และค่า K_i ของ ไฟริ เมราเมินและเมโรเทร เขกต่อเยื่อไชม์ได้ไอโตรโฟเลต รีดักเตล	33
2.20	การหาค่า 50% Inhibition ของไฟริ เมราเมินต่อเยื่อไชม์ ได้ไอโตรโฟเลต รีดักเตล	33
3	ผลการทดลอง	
3.1	การแพะเสียงพลาสต์โนมเติยม พลาซีปารัมในเม็ดเสือดแดงกรุปปี	34
3.2	การซึมโคราในเยื่อไชม์ พลาสต์โนมเติยม พลาซีปารัม	36
3.3	ความไวของพลาสต์โนมเติยม พลาซีปารัมต่อไฟริ เมราเมิน	36
3.4	ความไวต่อไฟริ เมราเมินของพลาสต์โนมเติยม พลาซีปารัมที่ระบบ การเจริญต่าง ๆ กัน	38

3.5 ความไวของพลาสต์โมเตียม พลาซีปารัมต์ไฟริ เมราฟินและเมโรเกร เยก	42
3.6 การนำ ^{14}C -pyrimethamine เข้าสู่เม็ดเสือดแดงซึ่งติดเชื้อและไม่ติดเชื้อพลาสต์โมเตียม พลาซีปารัม ในสภาวะการเพาะเลี้ยงแบบต่อเนื่อง	48
3.7 การนำ ^{14}C -pyrimethamine เข้าสู่เม็ดเสือดแดงที่ติดเชื้อพลาสต์โมเตียม ที่ระยะการเจริญต่าง ๆ	50
3.8 การล้าง ^{14}C -pyrimethamine ออกจากเม็ดเสือดแดงซึ่งติดเชื้อและไม่ติดเชื้อพลาสต์โมเตียม พลาซีปารัม	50
3.9 การนำ ^{14}C -pyrimethamine เข้าสู่เม็ดเสือดแดงที่ติดเชื้อพลาสต์โมเตียม พลาซีปารัมหลังจากการทำ Ficoll fractionation	52
3.10 กราฟมาตรฐานของอัลูมิโนฟิล์มแบบในสารละลายทรีล-ไอโตรคลอไรด์บัฟเฟอร์และในสารละลาย 1% ไตรตอนเทอกซ์ - 100	52
3.11 คุณลักษณะพิเศษของไดไอโตรโพเลต	55
3.12 แอคติวิตี้ของเอนไซม์ ไดไอโตรโพเลต รีดักเตลในพลาสต์โมเตียม พลาซีปารัม	55
3.13 แอคติวิตี้ของเอนไซม์ไดไอโตรโพเลต รีดักเตลในระยะการเจริญต่าง ๆ ของพลาสต์โมเตียม พลาซีปารัม	61
3.14 ปริมาณของโปรตีนในแต่ละระยะการเจริญของพลาสต์โมเตียม พลาซีปารัม ไอโซ-เลก K ₁	61
3.15 K _m ต่อสับสูตรที่ได้ไอโตรโพเลต ในแต่ละระยะการเจริญของพลาสต์โมเตียม พลาซีปารัม ไอโซ-เลก K ₁	67
3.16 น้ำหนักโมเลกุลของเอนไซม์ ไดไอโตรโพเลต รีดักเตล	67

3.17 K_i ต่อไฟริเมราเมินและเมโรเทรเข้าของเอนไซม์ ไดไอโตรโพเลต รีดักเตลไอโซเลต K_1 และในสเปช	71
3.18 ค่า 50% Inhibition ของไฟริเมราเมินต่อเอนไซม์ ไดไอโตรโพเลต รีดักเตล	71
4 วิจารณ์ผลการทดลองและสรุปผลการวิจัย	76
เอกสารอ้างอิง	90
ประวัติผู้เขียน	97

รายการตารางประกอบ



ตารางที่

หน้า

1	แอคติวิตี้ของ เอนไซม์ไดไอโตรโพเลต รีดกเตลใน <u>P.falciparum</u> ไอโซเลท K ₁ , CC และ G ₁₁₂ ซึ่งมีความไวต่อยาไพร เมราฟินต่างกัน	60
2	แอคติวิตี้ของ เอนไซม์ไดไอโตรโพเลต รีดกเตล ศีรษะการเจริญต่าง ๆ ของ <u>P.falciparum</u> ไอโซเลท K ₁	62
3	แอคติวิตี้ของ เอนไซม์ไดไอโตรโพเลต รีดกเตล ศีรษะการเจริญต่าง ๆ ของ <u>P.falciparum</u> ไอโซเลท CC	63
4	แอคติวิตี้ของ เอนไซม์ไดไอโตรโพเลต รีดกเตลศีรษะการเจริญต่าง ๆ ของ <u>P.falciparum</u> ไอโซเลท G ₁₁₂	64
5	ความสัมพันธ์ระหว่างปริมาณโปรตีนและแอคติวิตี้ของ เอนไซม์ไดไอโตรโพเลต รีดกเตล ที่แตกต่างกันในแต่ละระยะการเจริญของ <u>P.falciparum</u> ไอโซเลท K ₁	66
6	ผลของการ Specific activity และ K _m ของเอนไซม์ไดไอโตรโพเลต รีดกเตล ซึ่งแยกจาก <u>P.falciparum</u> ไอโซเลท K ₁ ศีรษะการเจริญ ต่าง ๆ	68
7	เปรียบเทียบค่าคงที่ทางจลค่าลัตต์และคุณลักษณะทางประการของ เอนไซม์ ไดไอโตรโพเลต รีดกเตลใน <u>P.falciparum</u> ไอโซเลท K ₁ และ ตับหมู	75

รายงานรูปประกอบ



หัวที่		หน้า
1	วงศ์ชีวิตของ เชื้อพลาสต์โนมเตี้ยม (มาลาเรียของคน)	2
2	การล้างเคราะห์โคเอนไซม์ไฟฟ์เลตของ เชื้อพลาสต์โนมเตี้ยมและเชื้อเจ้าบ้าน	7
3	เมตабอลิสต์ของไฟฟ์เลตในพลาสต์โนมเตี้ยม	9
4	ปฏิกิริยาของ เอนไซม์ ไดโอโซโรไฟฟ์เลต ตีตักเตลและโครงส์รังส์ของ ไฟริ เมราภิน	11
5	รูปแบบการเจริญของ <u>P.falciparum</u> ไอโซเลต K ₁ เมื่อเลี้ยงใน อาหารเลี้ยงเชื้อ RPMI 1640 คัมป์รัมและมีเม็ดเสือดแดงกรุ๊ป AB และ B	35
6	รูปแบบการเจริญของ <u>P.falciparum</u> ไอโซเลต K ₁ เมื่อเพาะเลี้ยงใน อาหารเลี้ยง เชื้อส์มูรฉัต	37
7	ผลกระทบของไฟริ เมราภิน ความเข้มข้นต่าง ๆ ต่อการเจริญของ <u>P.falciparum</u> ไอโซเลต K ₁ เมื่อเพาะเลี้ยงในอาหารเลี้ยง เชื้อส์มูรฉัต	39
8	ผลกระทบของไฟริ เมราภิน ความเข้มข้นต่าง ๆ ต่อการเจริญของ <u>P.falciparum</u> ไอโซเลต CC เมื่อเพาะเลี้ยงในอาหารเลี้ยง เชื้อส์มูรฉัต	40
9	ผลกระทบของ ไฟริ เมราภิน ความเข้มข้นต่าง ๆ ต่อการเจริญของ <u>P.falciparum</u> ไอโซเลต G ₁₁₂ เมื่อเพาะเลี้ยงในอาหารเลี้ยง เชื้อส์ ล์มูรฉัต	41
10	รูปแบบและระบบการเจริญของ <u>P.falciparum</u> ไอโซเลต K ₁ ในปั่ง เวลาต่าง ๆ เมื่อสำนักโรคในเย็น 2 ครั้ง แล้วนำมากดลوبความไวต่อ ไฟริ เมราภินที่ความเข้มข้น 10^{-4} โมลาร์	43
11	รูปแบบและระบบการเจริญของ <u>P.falciparum</u> ไอโซเลต K ₁ ในปั่ง เวลาต่าง ๆ ทดสอบจากสำนักโรคในเย็น 2 ครั้ง แล้วเพาะเลี้ยงต่อไปปีก 24 ชั่วโมง นำมากดลوبความไวต่อไฟริ เมราภินที่ความเข้มข้น 10^{-4} โมลาร์	44

ขบก.

หน้า

- 12 รูปแบบและระยะเวลาเจริญของ P.falciparum ไอโซเลต K₁ ในยุง
เวลาต่าง ๆ หลังจากทำเชิงโครงในเยื่อชั้น 2 ครั้ง และเพาะเลี้ยงต่อไปอีก
36 ชั่วโมง นำมาทดสอบความไวต่อพาร์เมราฟินที่ความเข้มข้น 10^{-4} โมลาร์ 45
- 13 รูปแบบการเจริญของ P.falciparum เมื่อทดสอบกับพาร์เมราฟินและ
เมโรเทรเซก กีความเข้มข้นต่าง ๆ กัน 46;
- 14 รูปแบบผิดปกติของพลาสตไมเตียม พาลซีปารัม ไอโซเลต K₁ เมื่อทดสอบกับ⁴
พาร์เมราฟินและเมโรเทรเซก กีความเข้มข้น 10^{-4} โมลาร์ และ 10^{-9}
โมลาร์ ตามลำดับ 47
- 15 เปรียบเทียบการนำเข้าของ ¹⁴C-pyrimethamine ความเข้มข้น 10^{-4}
โมลาร์ ในเม็ดเสือดแดงที่ติดเชื้อ (5% parasitaemia) และไม่ติดเชื้อ⁴
P.falciparum ในยุงระยะเวลาต่าง ๆ 49
- 16 กราฟรูปแท่งแสดงความแตกต่างของการนำ ¹⁴C-pyrimethamine ความ
เข้มข้น 10^{-4} โมลาร์ เข้าสู่เม็ดเสือดแดงที่ติดเชื้อ P.falciparum
ไอโซเลต K₁ และ G₁₁₂ ตามลำดับเมื่อเลี้ยงในอาหาร เสียบ เสียบสัมภารณ์ 51
- 17 กราฟแสดงการเปลี่ยนแปลงของระดับ ¹⁴C-pyrimethamine ในเม็ดเสือด
แดงที่ติดเชื้อและไม่ติดเชื้อ P.falciparum เมื่อเพาะเลี้ยงในอาหาร เสียบ
เชื้อสัมภารณ์กับ ¹⁴C-pyrimethamine ความเข้มข้น 10^{-4} โมลาร์ และล้าง
3 ครั้ง ด้วยอาหาร เสียบ เชื้อรำมดา นำไปเพาะเลี้ยงในอาหาร เสียบ เชื้อ⁴
สัมภารณ์ และล้างปริมาณกัมมันตรังสีที่เหลืออยู่ในเซลล์ หลังจากเพาะเลี้ยงนาน
12 และ 24 ชั่วโมง 53
- 18 เปรียบเทียบการนำเข้าของ ¹⁴C-pyrimethamine ความเข้มข้น
 10^{-5} โมลาร์ ในเม็ดเสือดแดงที่ติดเชื้อและไม่ติดเชื้อ P.falciparum 54

รูปที่		หน้า
19	เปรียบเทียบการอุดกัณณแสงที่ความยาวคลื่นต่าง ๆ ของวัลบูมินที่ความเข้มข้น 6 mg. ต่อ 1 ลูกบาศก์เซนติเมตร	56
20	เปรียบเทียบกราฟมาร์ตรฐานของวัลบูมิน โดยวิธีของ Lowry	57
21	Absorbance spectra ของล่ารัลลายไดออดอร์ฟเลต ในล่ารัลลาย 0.01 มอลาร์ โซเดียมไอกಡอกไซด์ และ 0.1 มอลาร์ โปรดแทลเชียมฟอสเฟต บัฟเฟอร์ pH 7.0	58
22	ภาพ แสดงระเบยต่าง ๆ ของกราฟเรซิญของพลาล์โนเมเตียม พาลซีปารัม ไอโซเลก K_1 เมื่อย้อมด้วยสีเสบียง	59
23	ภาพแล็คพลาล์โนเมเตียม พาลซีปารัม ไอโซเลก K_1 หลังจากทำปฏิกิริยา กับล่ารัลลาย 0.15% แซบบิน	59
24	แอคติวิตี้ของ เอนไยม์ไดออดอร์ฟเลต รีดักเตล ต่อกำลังความเข้มข้นของ โปรตีนในระเบยกราฟเรซิญต่าง ๆ ของ <u>P.falciparum</u> ไอโซเลก K_1	65
25	รูปแบบของโปรตีนมาตรฐานและเอนไยม์ไดออดอร์ฟเลต รีดักเตล ที่เก็บได้จากคอลัมน์เยไฟ เดกซ์ G-200	69
26	ความสัมพันธ์ระหว่าง K_{av} ของโปรตีนมาตรฐานและ log ของ น้ำหนักโมเลกุล	70
27	กราฟแล็คกราฟหาค่า K_1 ของเอนไยม์ไดออดอร์ฟเลต รีดักเตล ใน <u>P.falciparum</u> ไอโซเลก K_1 ต่อไฟริเมราเมินและเมโรเกรเจก	72
28	กราฟแล็คกราฟหาค่า K_1 ของเอนไยม์ไดออดอร์ฟเลต รีดักเตล ใน ตับหมู ต่อไฟริเมราเมินและเมโรเกรเจก	73
29	กราฟแล็คกราฟหาค่า 50% Inhibition ของไฟริเมราเมินที่ความเข้มข้นต่าง ๆ ต่อเอนไยม์ไดออดอร์ฟเลต รีดักเตล	74